



INRA
SCIENCE & IMPACT

Big data pour les données épigénétiques : illustration par des données pan-génomiques de méthylation de l'ADN

Adebiotech / EPIGEN 2018



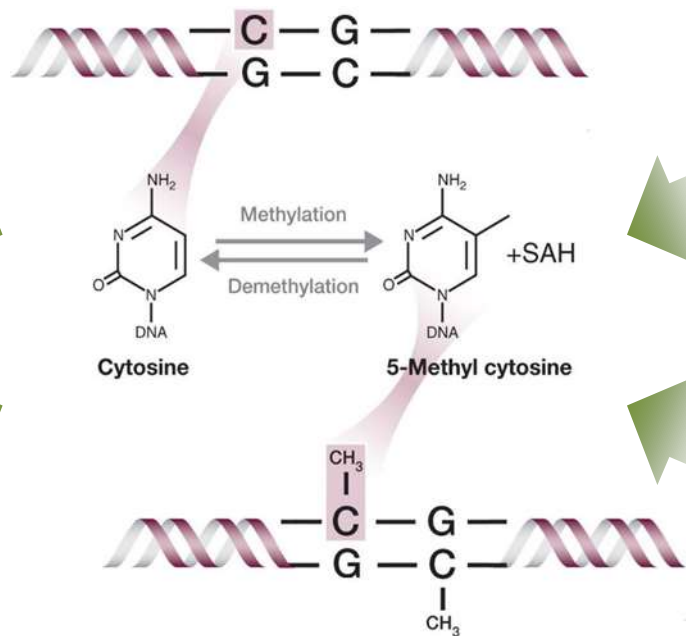
Les facteurs déterminant la méthylation de l'ADN

① Séquence
(Animaux : CpG prépondérant)

② Etat de la cellule
(tissu, environnement, physiologie...)

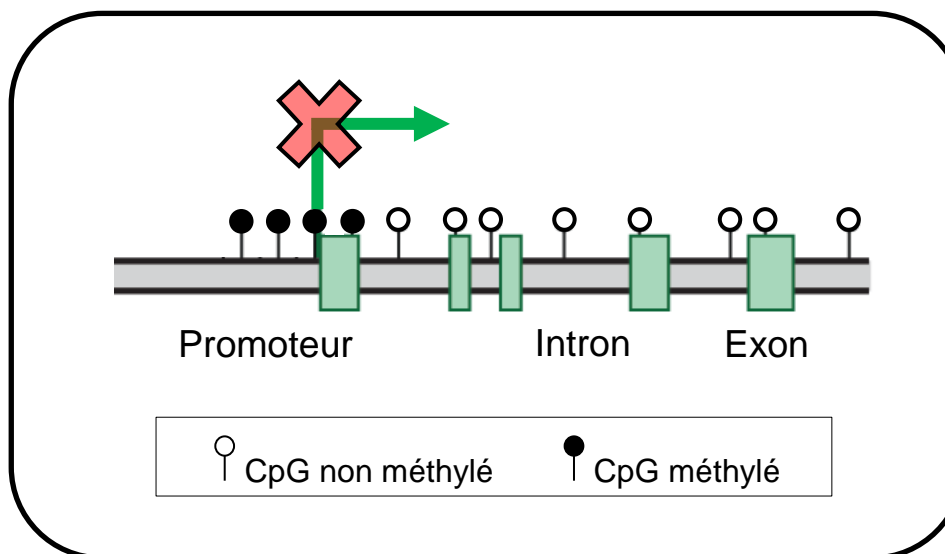
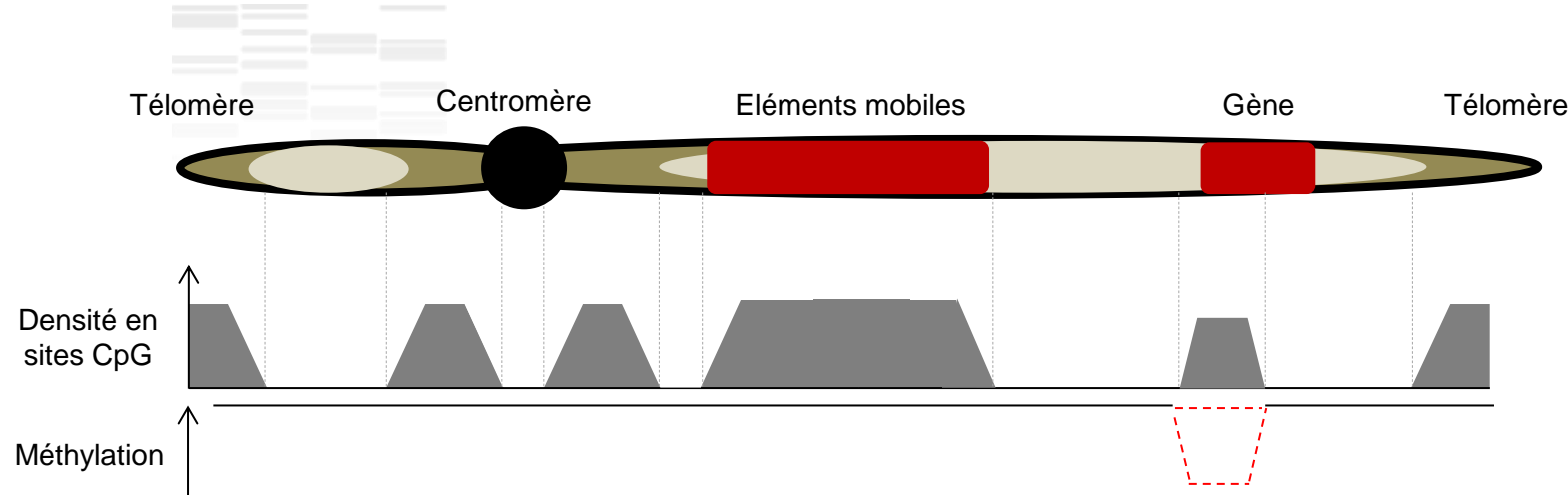
③ Déméthylation active et passive

④ Facteurs stochastiques



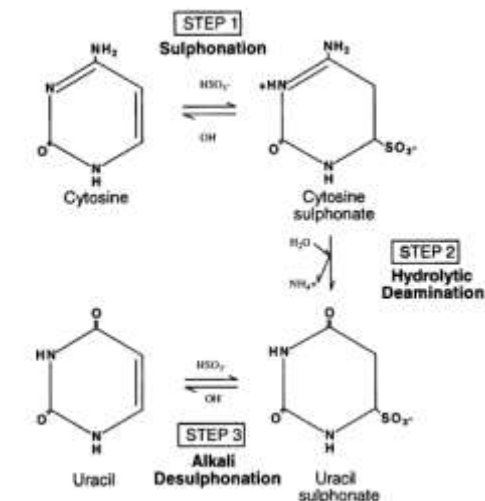
Adapté de: <https://www.caymanchem.com/images/articles/screen/2153-1.jpg>

Méthylation de l'ADN et structure/fonction du génome



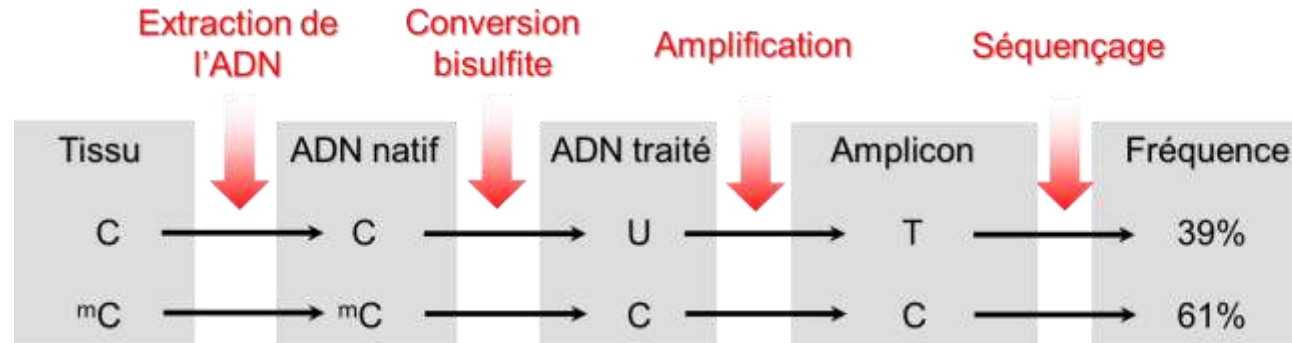
Propriétés de biomarqueur de la méthylation de l'ADN

- ❖ Intervient dans de nombreuses fonctions biologiques
- ❖ Equilibre entre stabilité et plasticité → « archivage » à long terme d'évènements affectant le génome
- ❖ Modification covalente de la molécule d'ADN génomique → information relativement facile d'accès par rapport à d'autres marques épigénétiques (ex. modifications d'histones)
- ❖ Information précise « à la base près » comme pour le génotype
- ❖ Technologie PacBio de séquençage haut-débit → information directe sur l'état de méthylation
- ❖ Technologie Illumina de séquençage haut-débit → traitement chimique de l'ADN génomique au bifulfite de sodium pour distinguer les C méthylées des C non méthylées

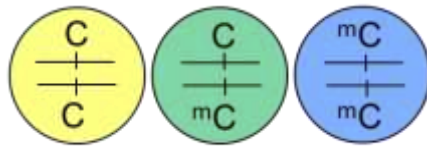


Clark et al, Nucleic Acid Research 1994

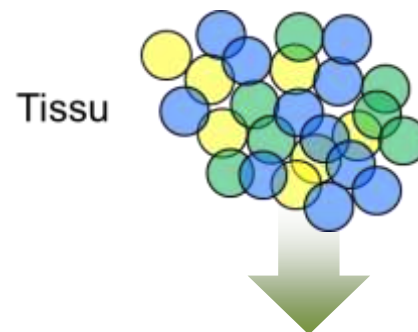
Challenge 1 : la méthylation de l'ADN est une variable continue



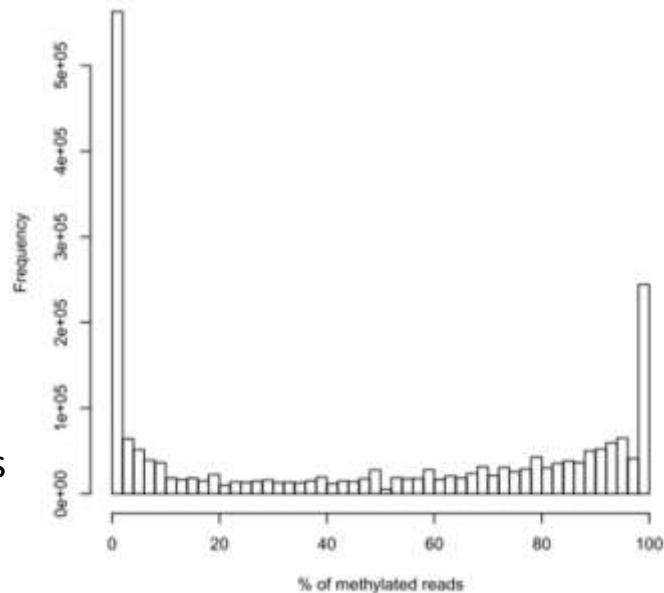
Cellules



A l'échelle d'une cellule,
peu de molécules
séquencées suffisent



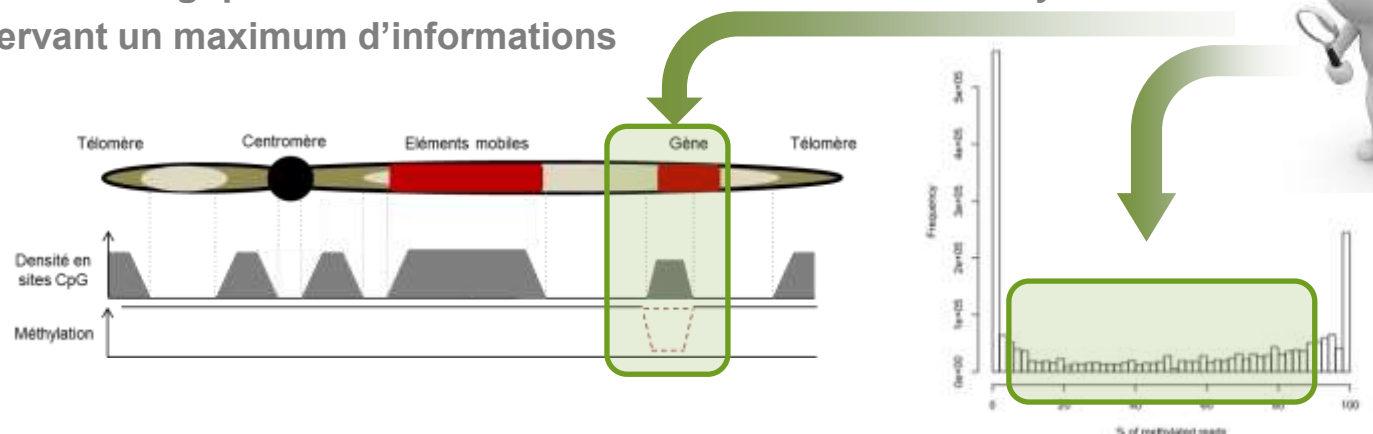
≥10 molécules séquencées
sont nécessaires



Challenge 2 : « Big Data » !

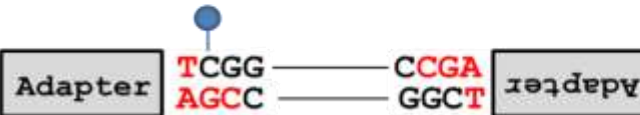
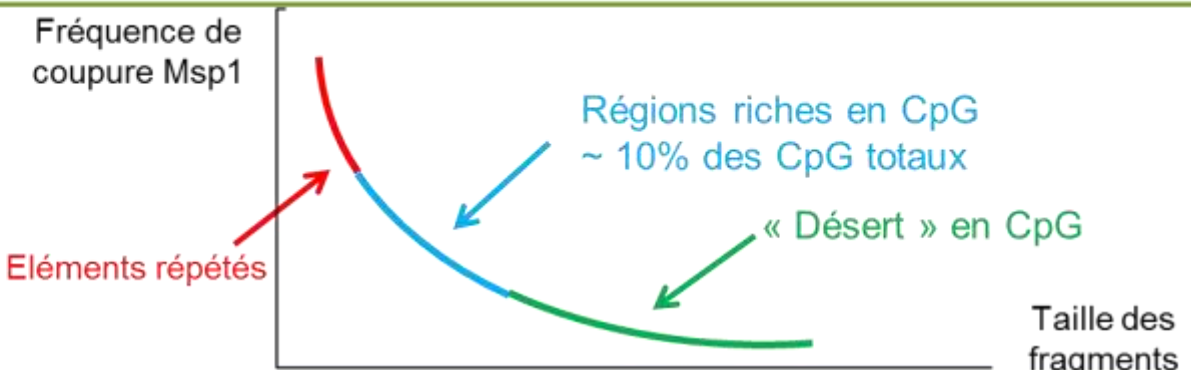
Species	Human	Mouse	Pig	Sheep	Horse	Cattle
Whole genome size (Gb)	3,1	2,7	2,8	2,6	2,5	2,7
Total number of CpG sites	29 345 332	21 867 837	30 460 432	26 376 870	29 873 125	27 203 575
CpG sites per Mb whole genome	9 466	8 099	10 840	10 068	12 094	10 075

- ❖ Méthylome : patron de méthylation de l'ensemble / d'une partie des CpG du génome
- ❖ Enjeu technologique et financier : réduire la dimension du méthylome tout en conservant un maximum d'informations



- ❖ Ex : RRBS (Reduced Representation Bisulfite Sequencing, Gu *et al.* 2011)

Vue d'ensemble de la construction de librairies RRBS

Digestion enzymatique	
End-repair / A tailing / Ligation des adaptateurs	
Sélection de taille	 <p>Fréquence de coupeure Msp1</p> <p>Eléments répétés</p> <p>Régions riches en CpG ~ 10% des CpG totaux</p> <p>« Désert » en CpG</p> <p>Taille des fragments</p>
Conversion bisulfite	
Amplification Séquençage	

Vue d'ensemble du pipeline d'analyses bioinformatiques / biostatistiques

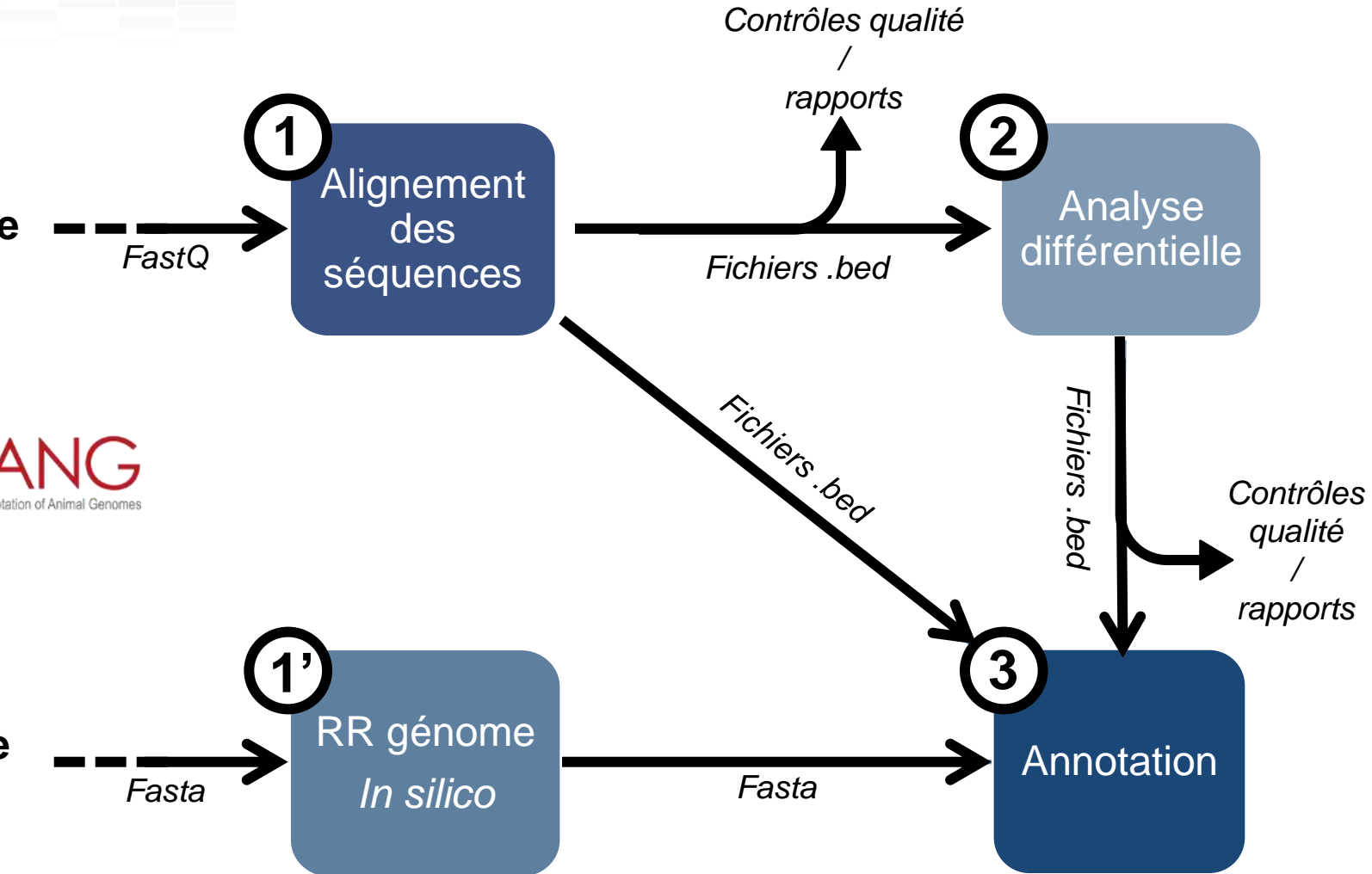


L. Jouneau et F. Piumi

RRBS
↓
Séquençage



Génome de référence



<https://github.com/FAANG/faang-methylation/tree/master/RRBS-toolkit>

Hélène KIEFER / Adebiotech EPIGEN 2018

Perrier et al., en révision

.08

14 / 03 / 2018

Infrastructure informatique



Genotoul
Bioinfo

GENOTOUL BIOINFORMATICS HOME

The GenoToul bioinformatics facility is part of the [Genotoul GIS](#). It has been set up in 2000. Since 2009, it is one of the 13 [IBISA](#) bioinformatics platforms. Since 2008, the platform collaborates with the local [genomic platform](#) and processes huge volumes of data produced by second and third generation of sequencers and makes them available to biologists ([ng6](#)).

EQUIPMENT

- A computer farm : about 5000 cores (INTEL-2014, AMD-2012), 34 Tera Byte memory (3TB on a SMP machine), Infiniband interconnection (QDR), parallel file system (GPFS)
- Web servers and virtual machines hosting infrastructure
- More than 1Peta Byte disk space

SERVICES

- Access to public [biological banks](#)
- Access to generic and specific bioinformatics [software pieces](#)
- Access to [web resources](#)
- Projects (Web/VM) [hosting](#) ([ask for a project hosting](#))
- [Training](#)

Use this [link](#) to create your user account. All questions about technical issues can be sent using one of the [Ask for](#) forms. The platform staff can help you to process your data or to develop specific databases or software packages. For any specific request please send a mail to [anim.bioinfo\(at\)toulouse.inra.fr](mailto:anim.bioinfo(at)toulouse.inra.fr).

NEWS

Newsletter #28
15 November 2017

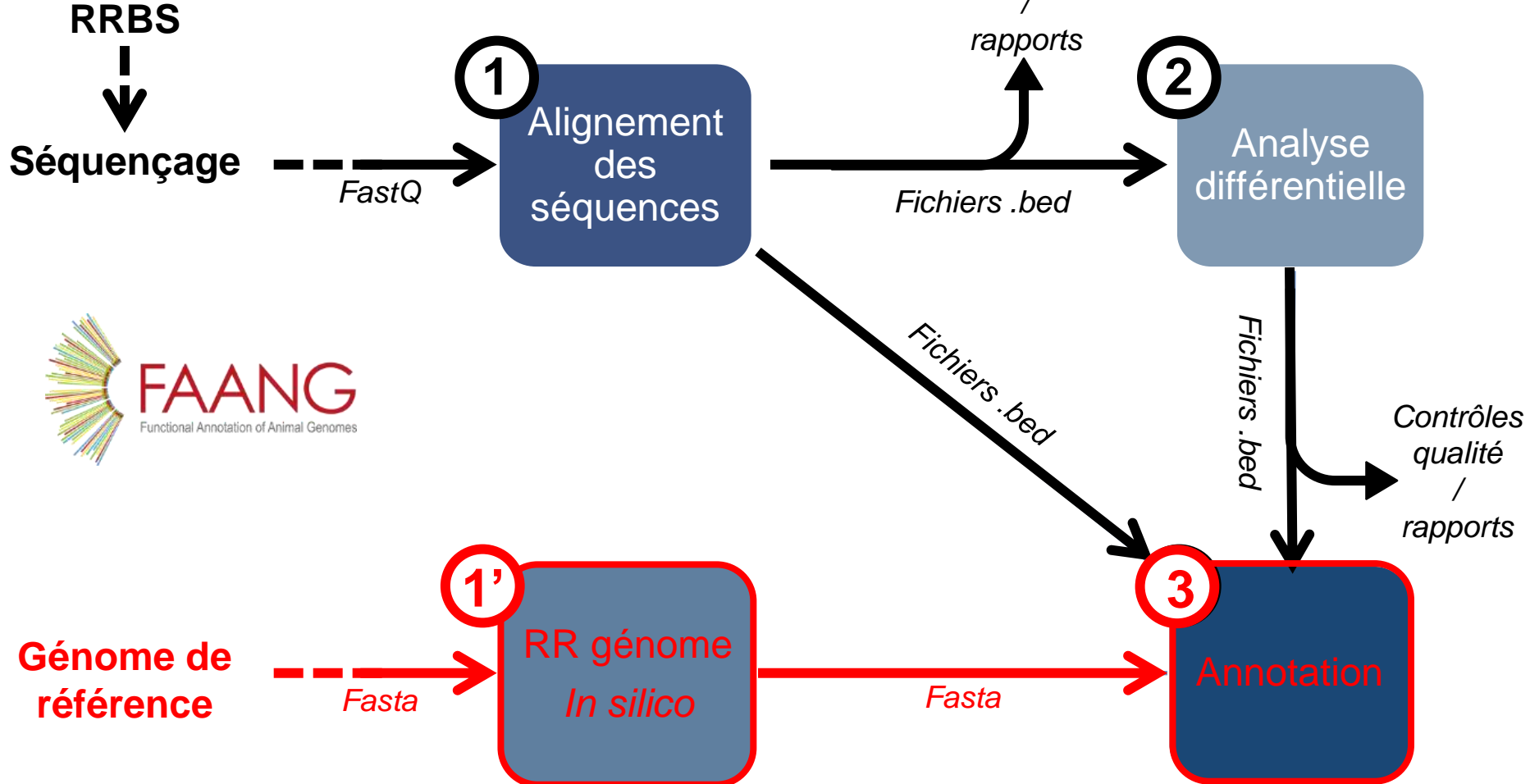
Finally, a twitter account!
15 September 2017

Newsletter #27
Special new cluster
29 June 2017

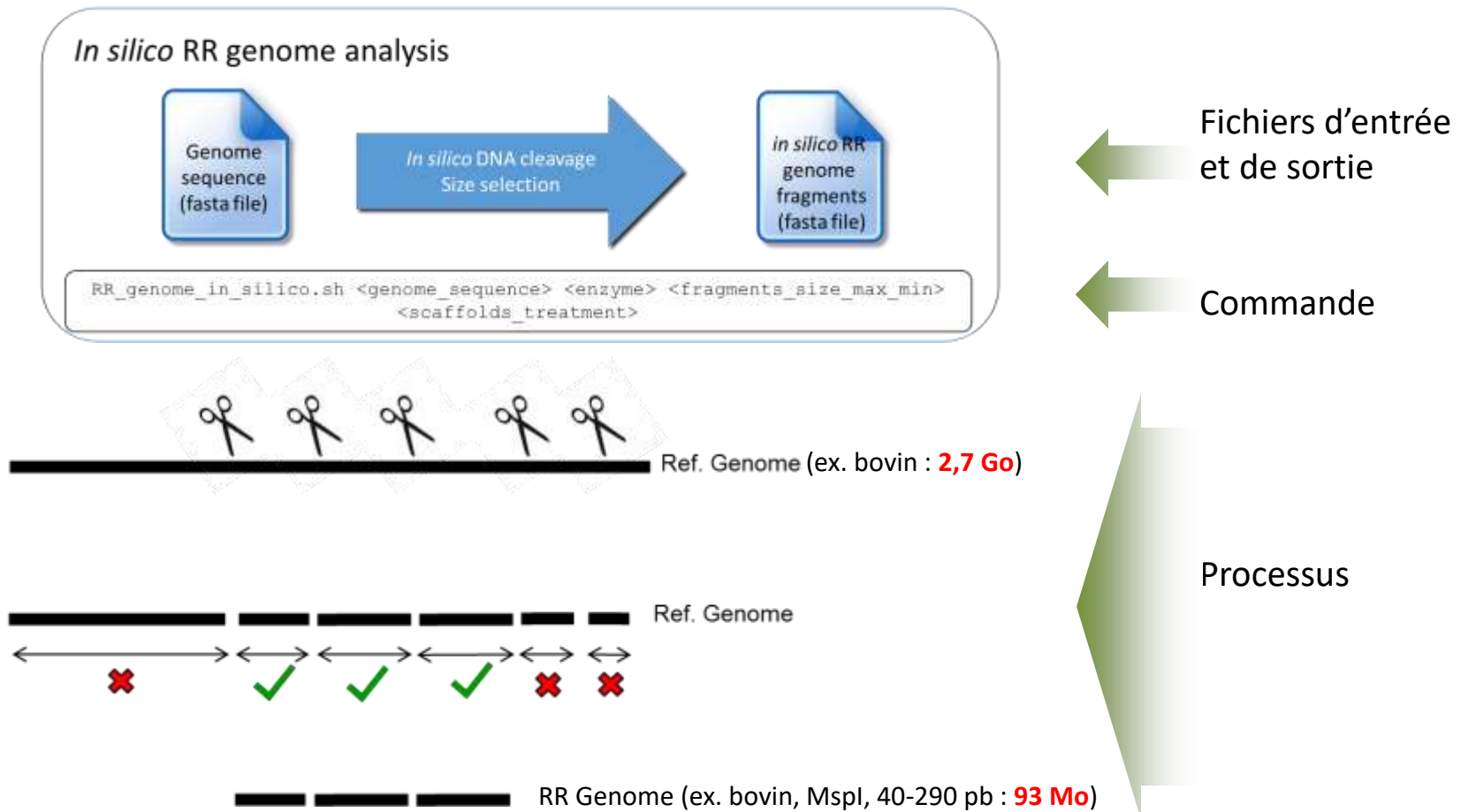
Vue d'ensemble du pipeline d'analyses bioinformatiques / biostatistiques



L. Jouneau et F. Piumi

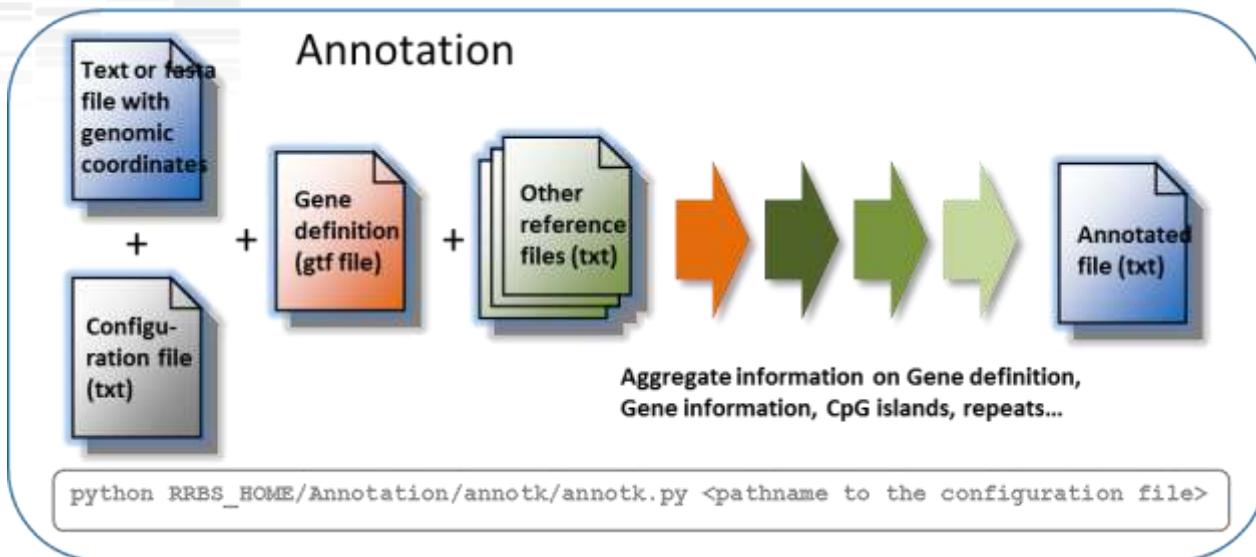


Production d'un « Reduced Representation » (RR) génome *in silico*



Pipeline d'annotation

Très rapide (de quelques minutes à quelques heures)



The diagram shows a comparison between a "Text or fasta file with genomic coordinates" and an "Annotated file (txt)". The left side displays a table of genomic coordinates:

Chromosome	e	Start	End	...
chr1		20108	20256	...
chr1		20257	20312	...
chr1		20313	20590	...
chr1		20618	20819	...
chr1		21130	21379	...
chr1		47348	47398	...
chr1		58653	58814	...
chr1		70547	70781	...
chr1		70547	70781	...
chr1		75843	75955	...
chr1		115996	116053	...

The right side shows the corresponding "Annotated file (txt)" with additional columns: Gene ID, Gene name, and other gene-related information.

Gene ID	name	...
ENSBTAG00000046619	5S_rRNA	...
ENSBTAG00000006858
ENSBTAG00000039257
ENSBTAG0000001753

Pipeline d'annotation

Configuration file
(txt)

```
file_to_annotate      in/DMRs_between_C1_C2.txt
file_format          tab
output_file          out/DMRs_between_C1_C2_annotated.txt
keep_scaffolds       No

theme                Gene features
join_type            gtf
target_keys          Chromosome,Position
reference_file       reference/Bos_taurus.UMD3.1.81.gtf
nb_max_results       3
max_dist_nearest_gene 10kb

theme                Gene
join_type            value
target_keys          Gene ID
reference_file       reference/bovine_biomart.txt
reference_keys        Ensembl Gene ID

theme                Repeats
join_type            location
target_keys          Chromosome,Position
reference_file       reference/bovine_repeats.txt
reference_keys        1,2,3
min_overlap          75%

theme                CpG islands
join_type            location
target_keys          Chromosome,Position
reference_file       reference/bovine_CGI.txt
reference_keys        1,2,3
min_overlap          0%
nb_max_results       all
interval_shift       0      island
interval_shift       2000   shore
interval_shift       4000   shelves
```

Global parameters

GTF annotation

Gene information annotation

Annotation of overlaps with repeat regions

Annotation of overlaps with CpG islands

Pratique !!! Archivage +
manipulation par des non
bioinformaticiens

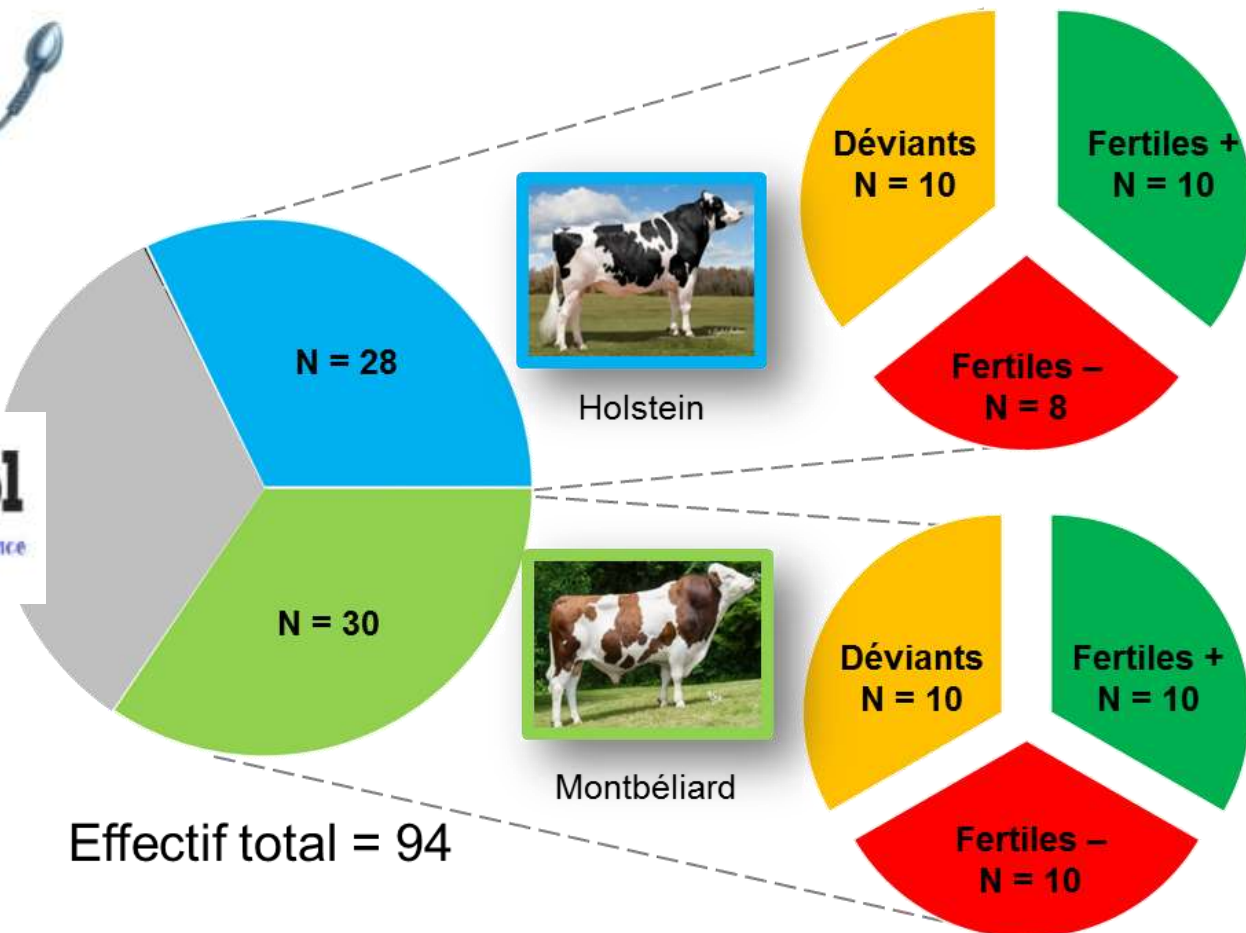


Analyse *in silico* appliquée au génome bovin

Size selection (bp)	No	0-250	40-290	80-330	120-370	160-410
RR genome size (Mb)	2 670	71	79	83	85	86
Per cent of whole genome	100.0	2.7	3.0	3.1	3.2	3.2
Number of Mspl fragments	1 990 837	810 994	585 584	456 504	376 199	317 974
Number of CpG sites	27 540 276	3 588 657	3 454 028	3 127 005	2 854 907	2 666 727
Percent of total genomic CpG sites	100.0	13.0	12.5	11.4	10.4	9.7
Percent in 3'UTR	0.4	0.6	0.6	0.6	0.6	0.6
Percent in 5'UTR	0.2	0.5	0.4	0.3	0.2	0.2
Percent in exon	4.6	9.2	8.7	7.6	6.4	5.4
Percent in intron	31.1	30.7	32.0	33.0	33.8	34.5
Percent in intergenic	57.0	46.9	48.3	50.1	51.7	52.7
Percent in promoter-TSS	4.8	9.7	7.7	6.1	5.0	4.3
Percent in TTS	1.9	2.4	2.4	2.4	2.3	2.3
Percent in CpG islands	13.4	31.4	22.9	16.1	11.5	8.3
Percent in overlapping repeats	61.9	26.2	31.2	37.8	43.4	47.9

Fenêtre choisie pour la production de librairies : 40-290 pb
(0-250 : fragments trop petits)

Application : Recherche de biomarqueurs de la fertilité dans le méthylome de spermatozoïdes de taureaux



Automatisation de la construction de librairies RRBS

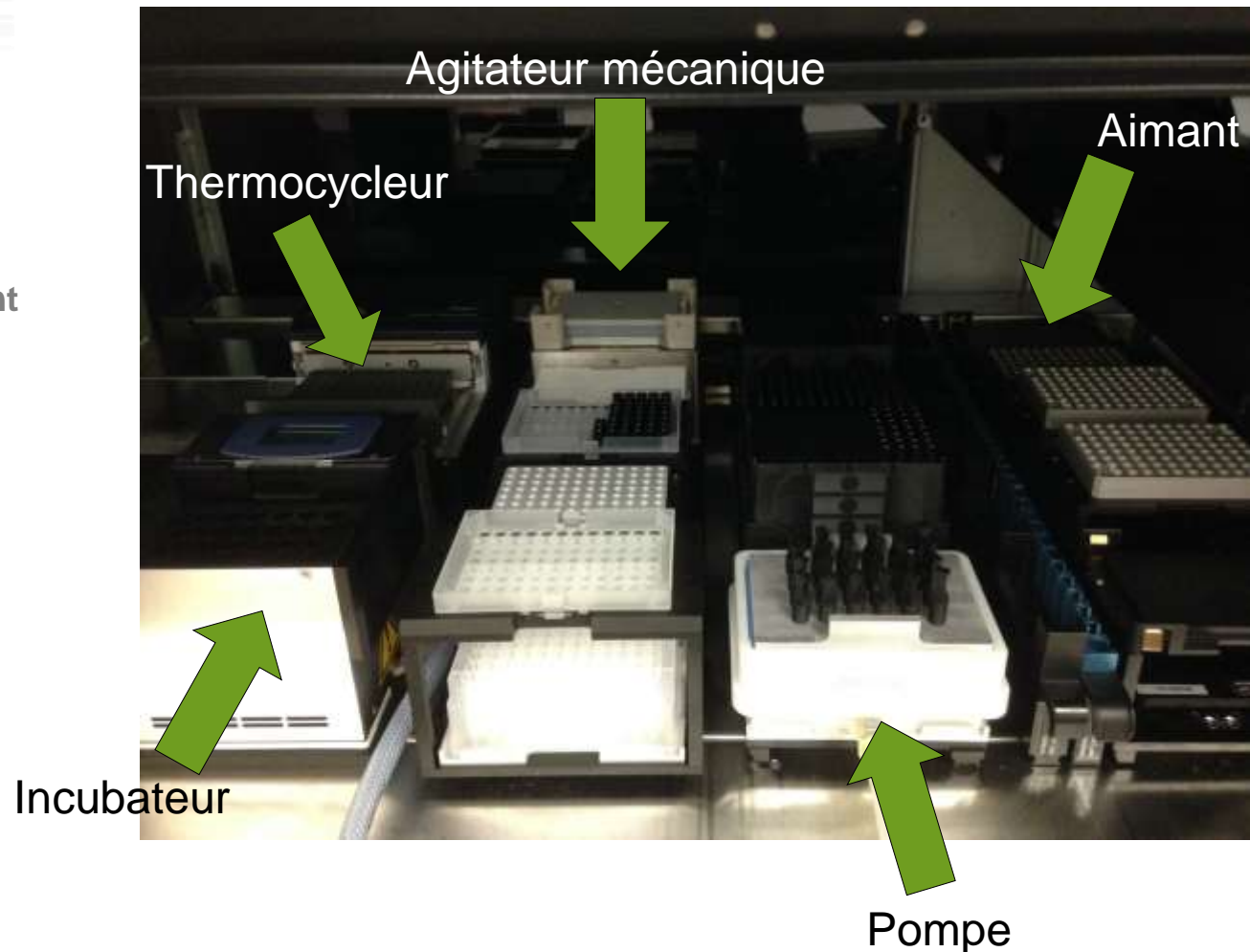


J-P. Perrier et A. Chaulot-Talmon

- ❖ Programme de >3000 lignes de commandes
- ❖ Production de 12 librairies simultanément
- ❖ Indépendance vis-à-vis des kits
- ❖ Contrôles qualité à chaque étape



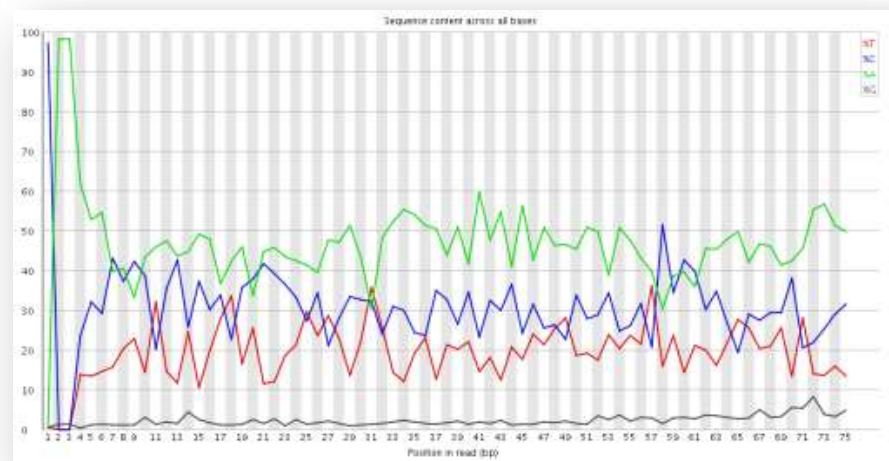
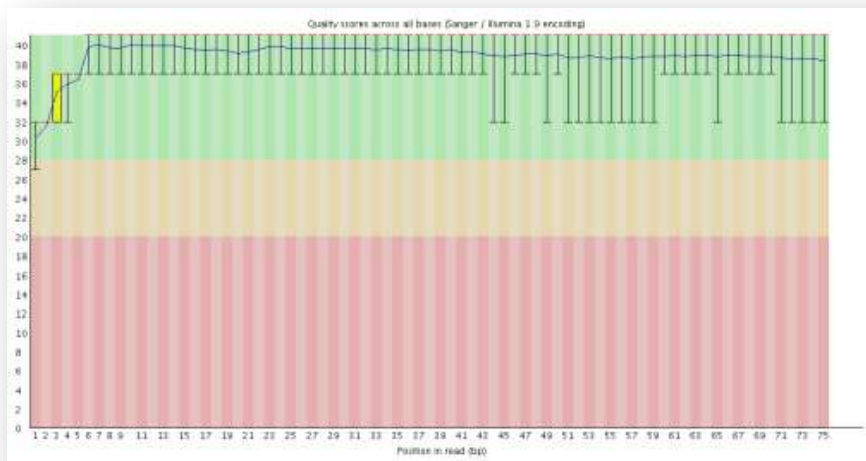
From: <http://www.hamiltoncompany.com/>



Résultat du séquençage

- ❖ Paired-end 2x75 pb
- ❖ 35 millions de paires de séquences obtenus en moyenne par échantillon → 4 milliards de séquences totales (~990 Go)
- ❖ Contrôles qualité conformes à l'attendu :

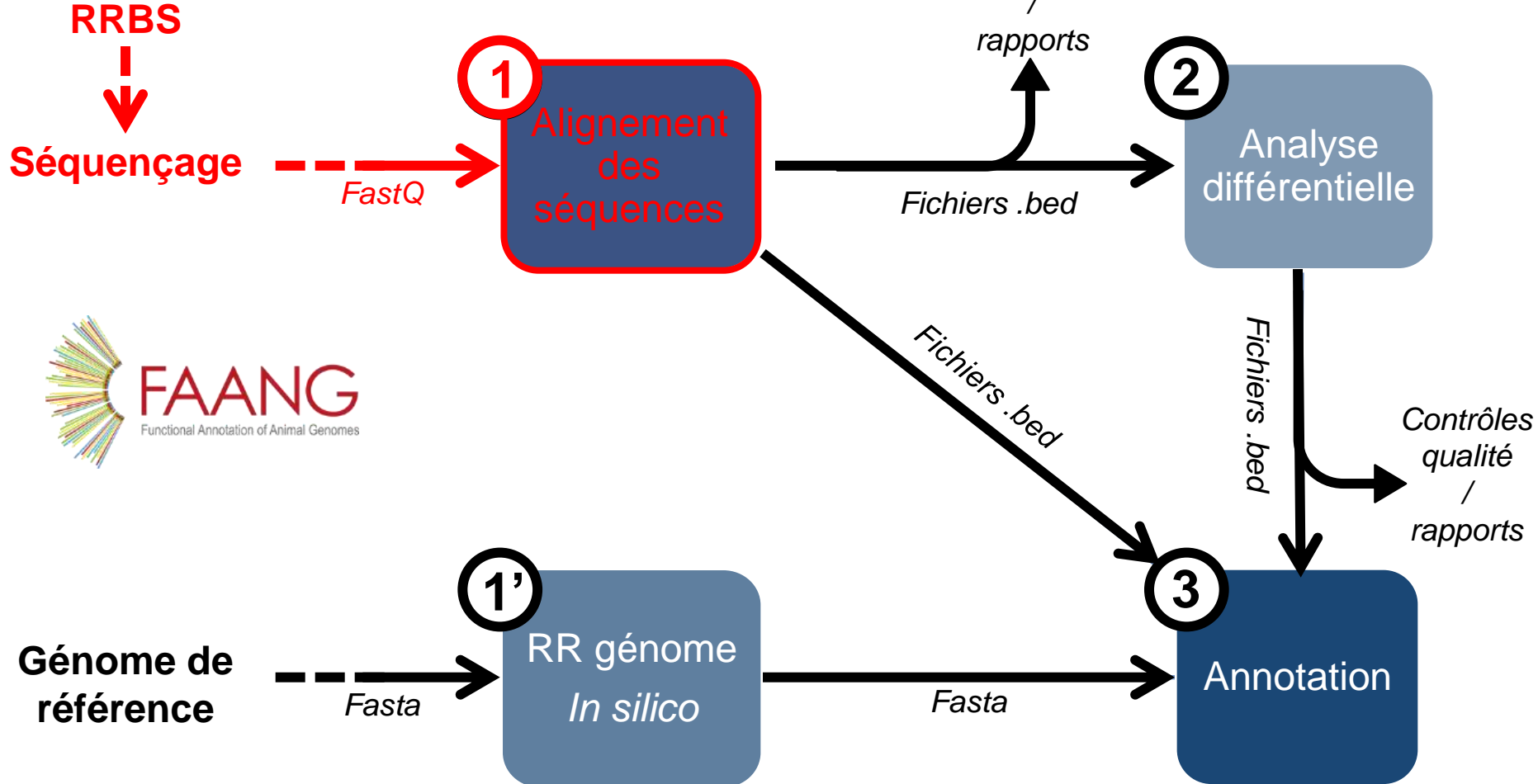
	Nombre de paires de séquences analysées	Taux de conversion bisulfite (%)
Moyenne	35 223 758	99,3
Minimum	26 370 072	98,0
Maximum	45 869 353	99,9



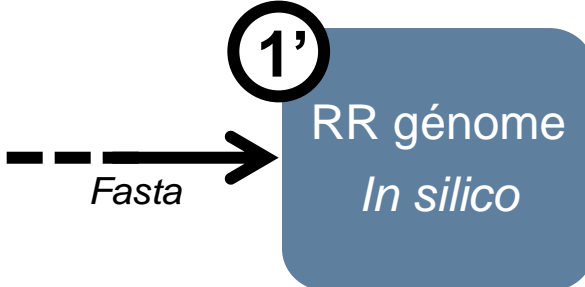
Vue d'ensemble du pipeline d'analyses bioinformatiques / biostatistiques



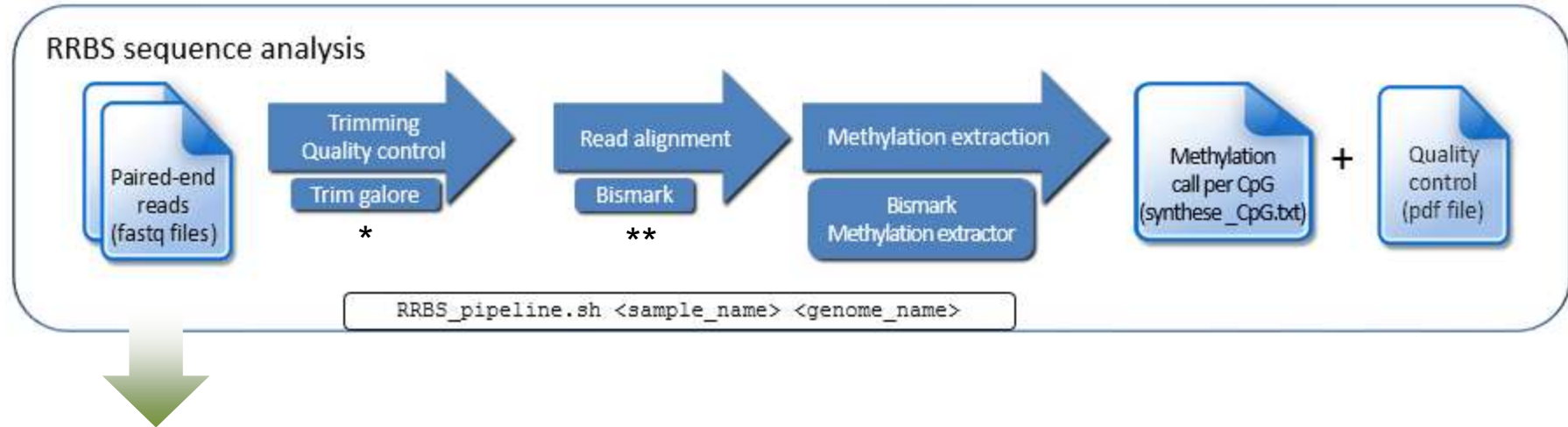
L. Jouneau et F. Piumi



Génome de référence



Des séquences brutes à l'information de méthylation



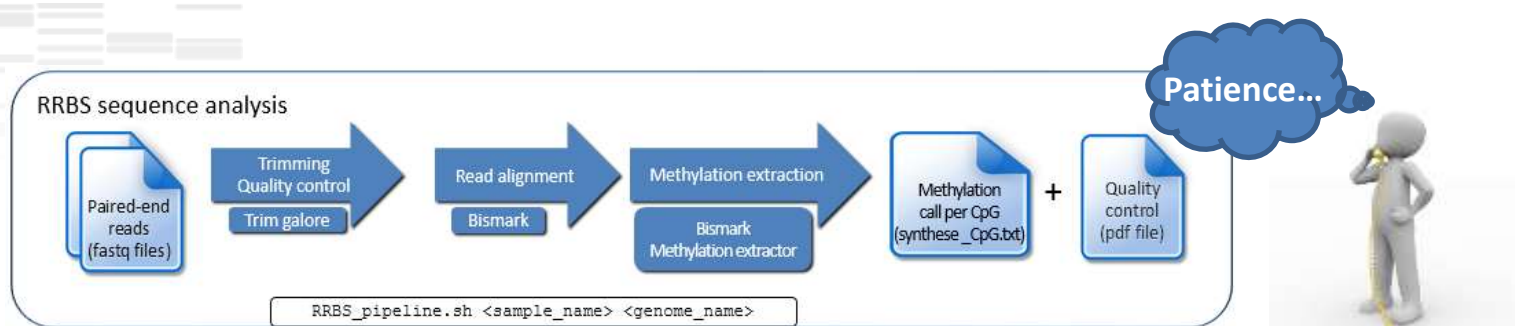
2 fichiers contenant ~35 millions de séquences (2 x ~8,5 Go) :

```
@K00103:24:H2MG5BBXX:2:1101:3862:1088 2:N:0:GATCGC
CAACTCAACTCTAAATTACCTTCCTCTATAACTTAACATCAAAAATCCCTACAAAAAACATAAAAACACACACCAAG
+
<< , ,A7<FKKKKKKKFKKK<FFAKKKKAFAFFKKFKKKKKKAFKF7KFKKFFFK , AFKKKKKKFKKKKKK7FF<FK
```

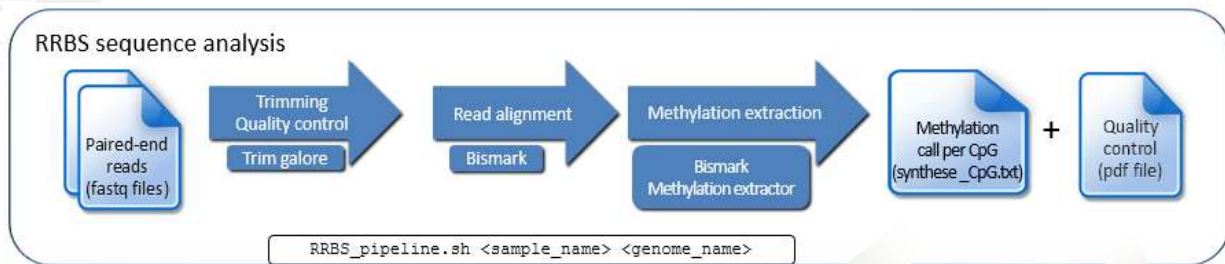
* http://www.bioinformatics.babraham.ac.uk/projects/trim_galore/

** Krueger F. and Andrews S., 2011

Des séquences brutes à l'information de méthylation

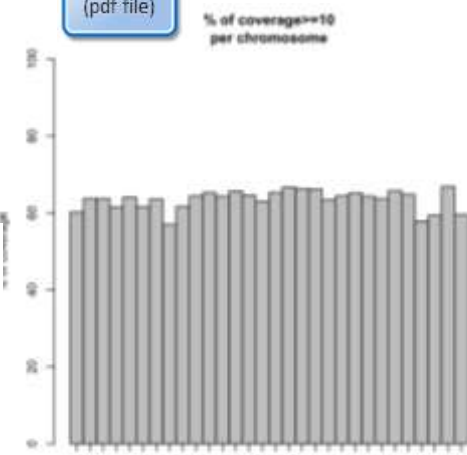
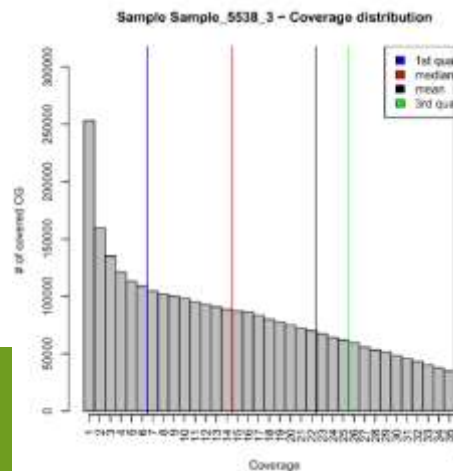


Des séquences brutes à l'information de méthylation

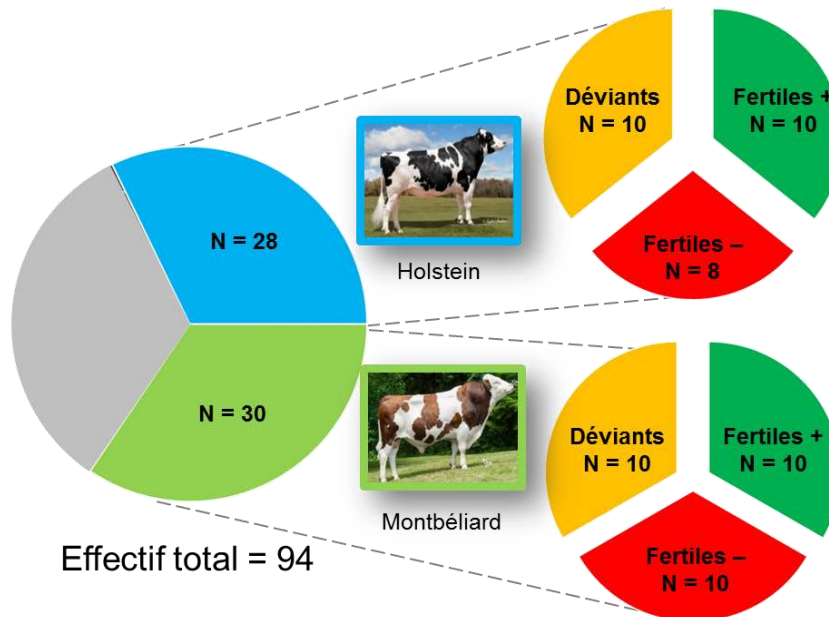


1 fichier .txt (~63 Mo)

Chromosome	Position	Coverage	# methylated	% methylated
1	20178	4	2	50
1	20192	4	2	50
1	20235	4	0	0
1	20250	4	2	50
1	20258	4	2	50
1	20353	10	2	20
1	20357	10	2	20
1	20377	10	2	20
1	20388	10	2	20



Statistiques après alignement



Nombre de paires de séquences analysées	Taux de conversion bisulfite (%)	Alignements uniques (%)	Alignements multiples (%)	Pas d'alignement (%)	Nombre de CpG couverts Y	Nombre de CpG sur le chromosome	Nombre de CpG avec couverture ≥ 10 (%)	
Moyenne	35 223 758	99,3	39,3	51,1	9,6	3 216 778	3896	61,0
Minimum	26 370 072	98,0	33,5	44,8	8,9	2 956 237	3010	54,8
Maximum	45 869 353	99,9	45,5	56,7	10,5	3 458 347	4738	66,4

Vue d'ensemble du pipeline d'analyses bioinformatiques / biostatistiques

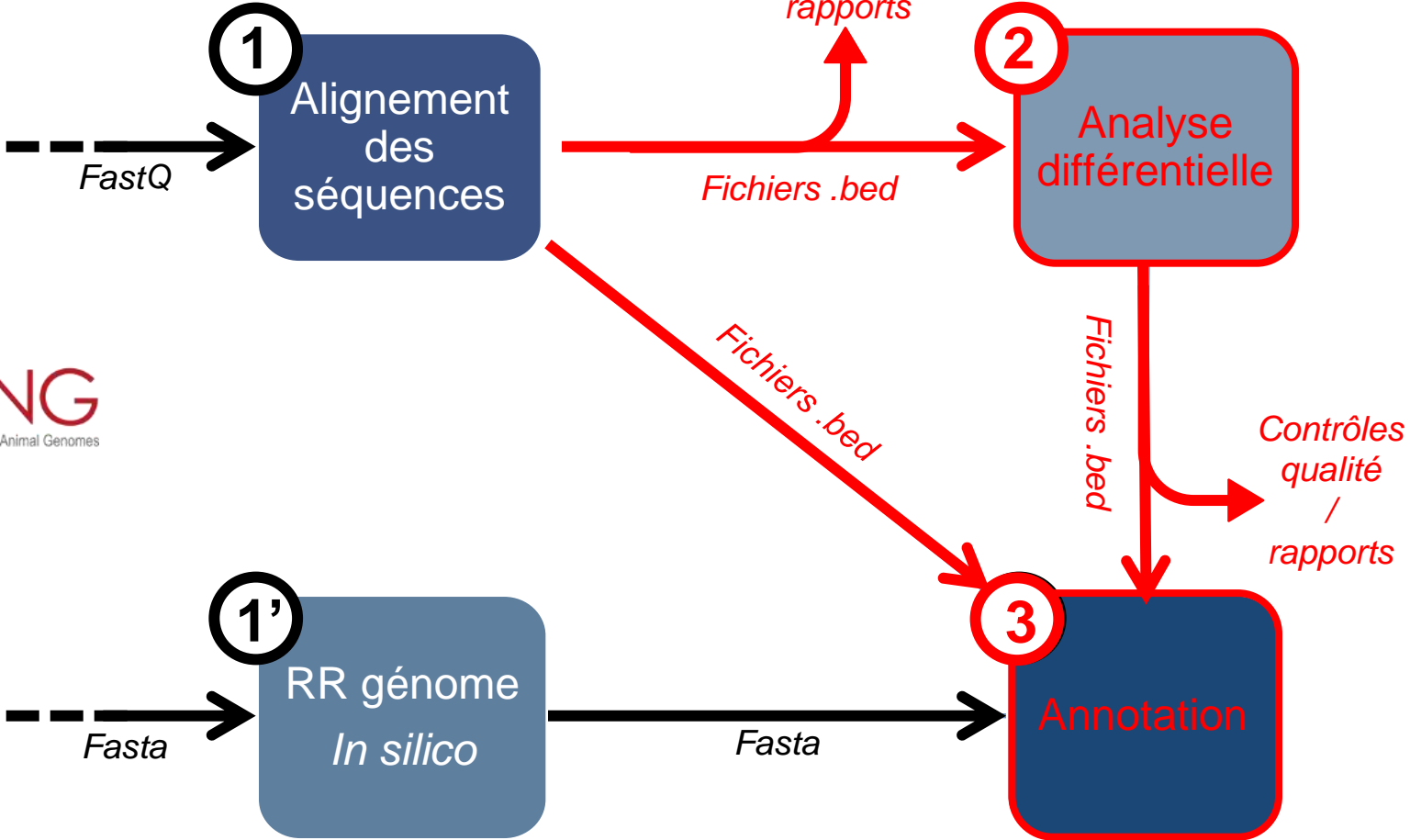


L. Jouneau et F. Piumi

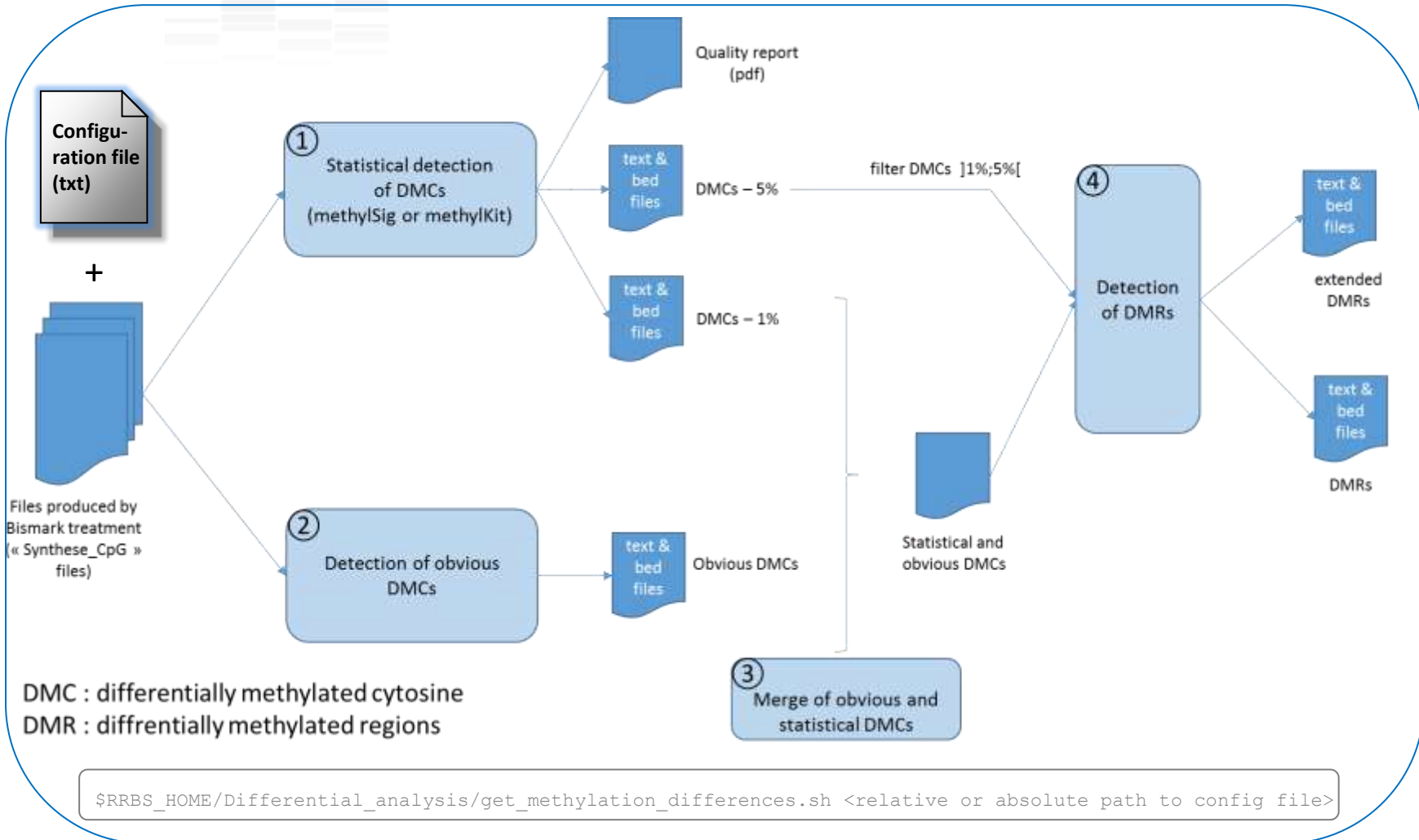
RRBS
↓
Séquençage



Génome de
référence



Identification de cytosines/régions différemment méthylées entre 2 conditions



Identification de cytosines/régions différemment méthylées entre 2 conditions

```
#Global parameters:  
#-----  
#title HO_CMCP_MethylKit_qvalue001  
#output_dir /work/jperrier/ARTICLE_FERTILITE/3-Differential_analysis/MethylKit/HO_CMCP_qvalue001  
#  
#MethylKit parameters:  
#-----  
#stat_method methylKit *  
#min_coverage1 10  
#min_per_group 4  
#stat_value qvalue  
#stat_threshold1 0.01  
#methdiff_threshold1 0.25  
#  
#Obvious DMCs parameters:  
#-----  
#min_coverage2 10  
#max_coverage2 1000000000  
#methdiff_threshold2 0.8  
#  
#DMCs -> DMRs parameters:  
#-----  
#nb_min_DMCs_in_DMRs 3  
#max_distance_between_DMCs 100  
#stat_threshold2 0.05  
#  
Sample File Condition  
17 /work/jperrier/ARTICLE_FERTILITE/synthese_CpG_sqmY/synthese_CpG_sqmY_17.txt F_Neg  
18 /work/jperrier/ARTICLE_FERTILITE/synthese_CpG_sqmY/synthese_CpG_sqmY_18.txt F_Neg  
20 /work/jperrier/ARTICLE_FERTILITE/synthese_CpG_sqmY/synthese_CpG_sqmY_20.txt F_Neg  
22 /work/jperrier/ARTICLE_FERTILITE/synthese_CpG_sqmY/synthese_CpG_sqmY_22.txt F_Neg  
28 /work/jperrier/ARTICLE_FERTILITE/synthese_CpG_sqmY/synthese_CpG_sqmY_28.txt F_Neg  
36 /work/jperrier/ARTICLE_FERTILITE/synthese_CpG_sqmY/synthese_CpG_sqmY_36.txt F_Neg  
66 /work/jperrier/ARTICLE_FERTILITE/synthese_CpG_sqmY/synthese_CpG_sqmY_66.txt F_Neg  
77 /work/jperrier/ARTICLE_FERTILITE/synthese_CpG_sqmY/synthese_CpG_sqmY_77.txt F_Neg  
12 /work/jperrier/ARTICLE_FERTILITE/synthese_CpG_sqmY/synthese_CpG_sqmY_12.txt F_Pos  
14 /work/jperrier/ARTICLE_FERTILITE/synthese_CpG_sqmY/synthese_CpG_sqmY_14.txt F_Pos  
16 /work/jperrier/ARTICLE_FERTILITE/synthese_CpG_sqmY/synthese_CpG_sqmY_16.txt F_Pos  
21 /work/jperrier/ARTICLE_FERTILITE/synthese_CpG_sqmY/synthese_CpG_sqmY_21.txt F_Pos  
54 /work/jperrier/ARTICLE_FERTILITE/synthese_CpG_sqmY/synthese_CpG_sqmY_54.txt F_Pos  
56 /work/jperrier/ARTICLE_FERTILITE/synthese_CpG_sqmY/synthese_CpG_sqmY_56.txt F_Pos  
62 /work/jperrier/ARTICLE_FERTILITE/synthese_CpG_sqmY/synthese_CpG_sqmY_62.txt F_Pos  
63 /work/jperrier/ARTICLE_FERTILITE/synthese_CpG_sqmY/synthese_CpG_sqmY_63.txt F_Pos  
76 /work/jperrier/ARTICLE_FERTILITE/synthese_CpG_sqmY/synthese_CpG_sqmY_76.txt F_Pos  
86 /work/jperrier/ARTICLE_FERTILITE/synthese_CpG_sqmY/synthese_CpG_sqmY_86.txt F_Pos
```



Part dedicated to analysis parametrization

Definition of the two conditions and localization of analysis input files



* Akalin et al., 2012

.025

14 / 03 / 2018

Identification de cytosines/régions différemment méthylées entre 2 conditions

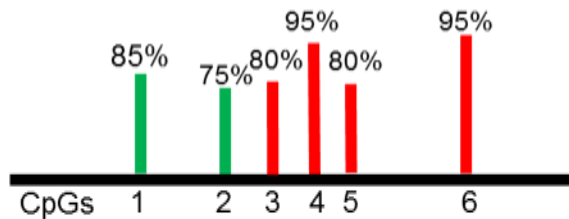


Sélection des CpGs avec profondeur de séquençage appropriée ($\geq 10 \times$)

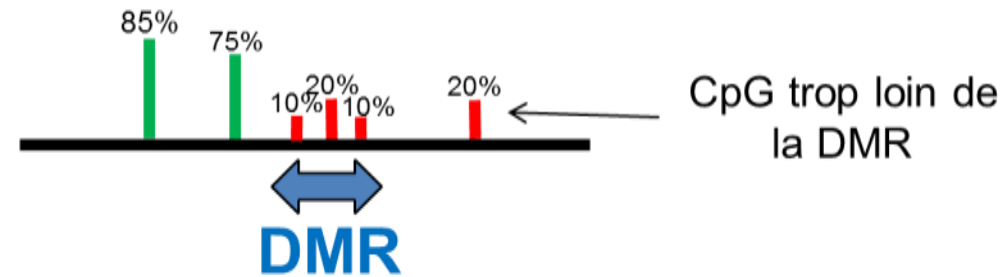
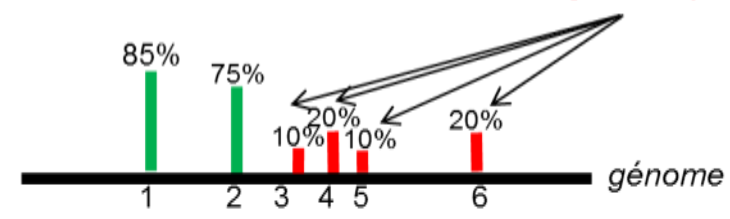
DMCs

(minimum de 25% de différence de méthylation)

Condition A



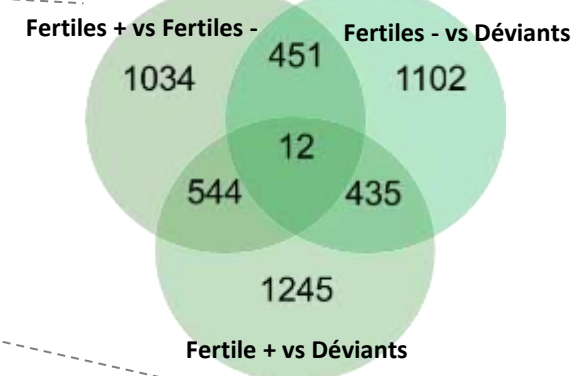
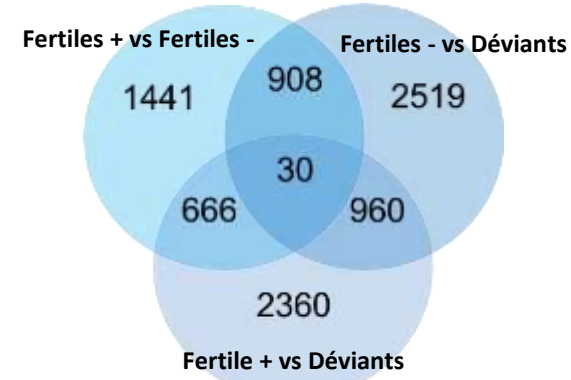
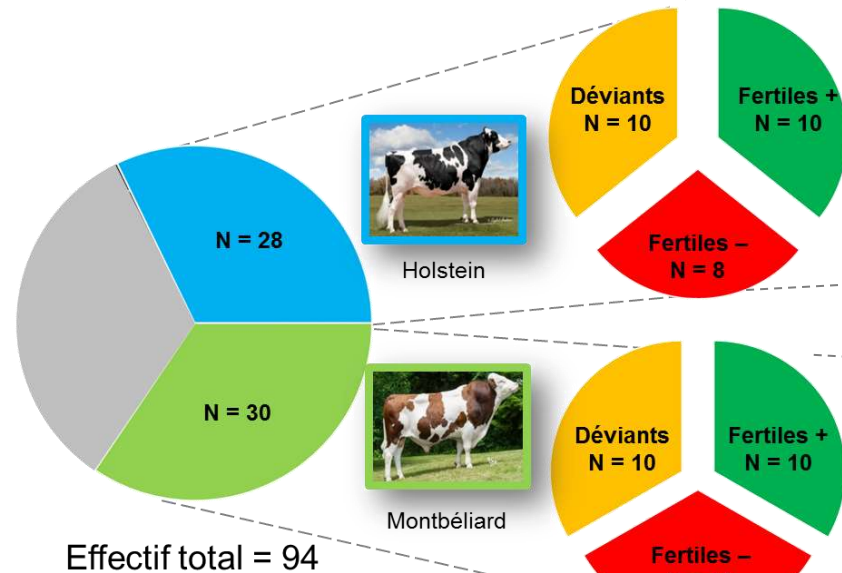
Condition B



DMR

(un minimum de 3 DMCs avec moins de 100pb entre chaque)

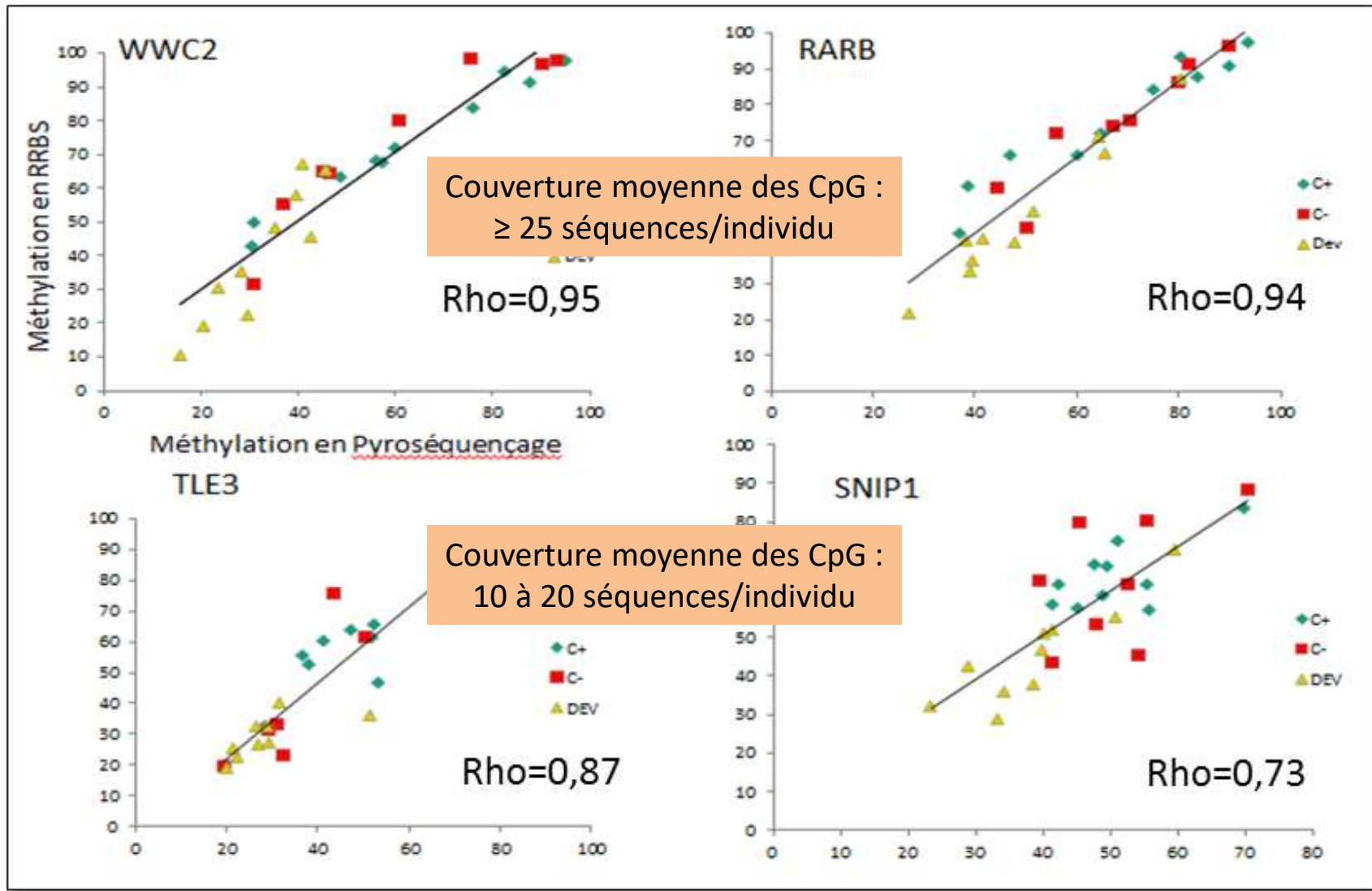
Identification de cytosines différemment méthylées (DMC) liées à la fertilité



- methylKit
- qvalue 0,01
- Couverture minimale : 10 séquences/CpG pour ≥ 4 échantillons par catégorie
- Différentiel de méthylation >25%

Perrier et al., en préparation

Validation expérimentale des données de RRBS



En résumé et en conclusion

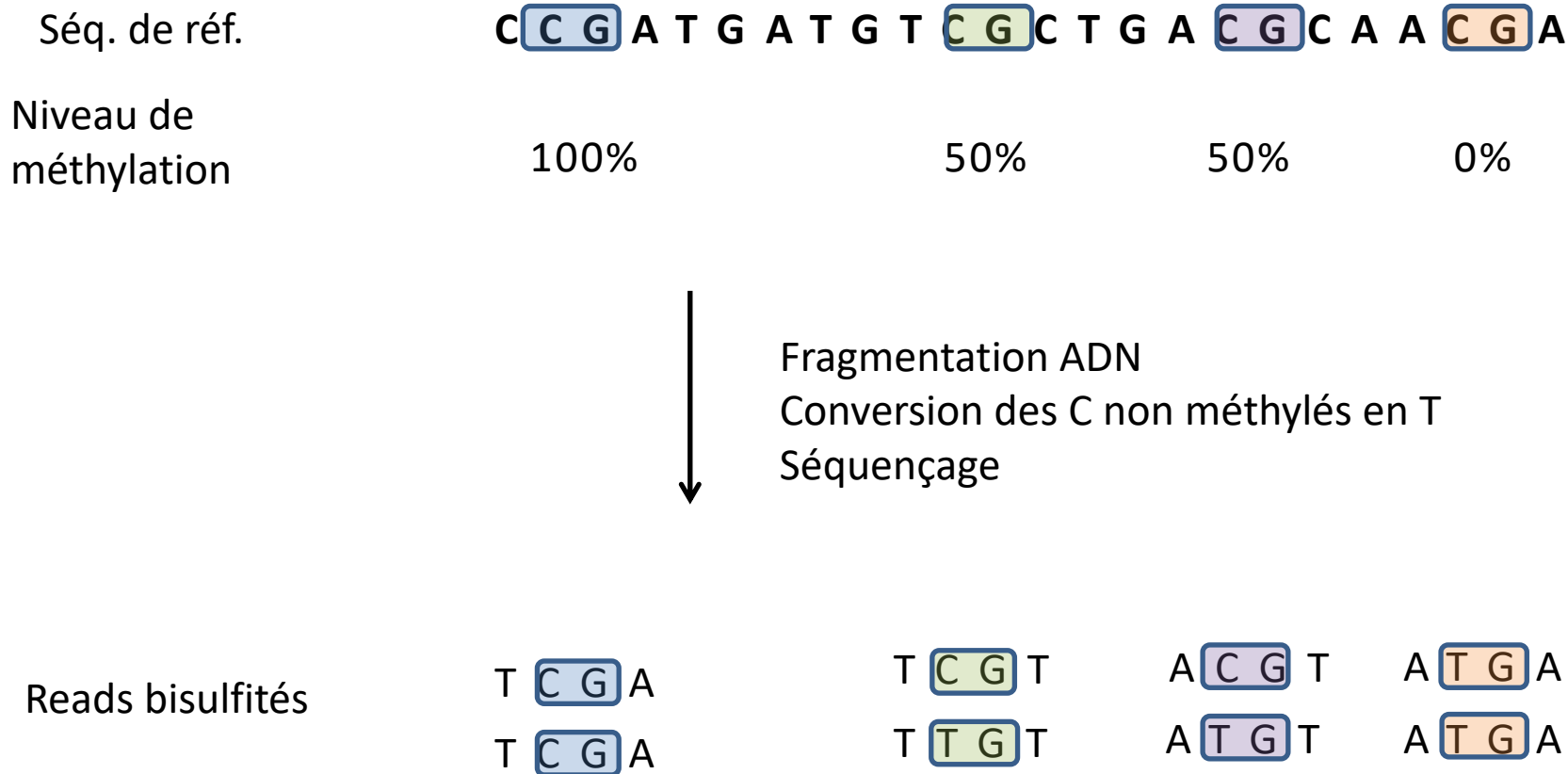
- ❖ Peut s'analyser comme du polymorphisme de séquence, mais pas avec les mêmes outils bioinformatiques/biostatistiques (variable continue entre 0% et 100%)
- ❖ >20 millions de sites CpG dans les génomes de mammifères, dont beaucoup sont invariants en termes de méthylation (cellules somatiques)
- ❖ Il est possible de restreindre l'analyse à quelques millions de CpG stratégiques (technologie RRBS) ou à <1 million chez l'Homme (puce Illumina 450K), néanmoins le coût est élevé
- ❖ Une **plateforme bioinformatique** et un espace de stockage de l'ordre du To est nécessaire pour analyser plusieurs conditions et réplicats biologiques
- ❖ Entre 2 conditions proches (même type cellulaire), seuls quelques milliers de CpG sont différenciellement méthylés (entre types cellulaires : plusieurs centaines de milliers) → **importance de la construction d'un outil ciblé à mettre à disposition des filières**
- ❖ Les outils d'analyse et les paramètres choisis peuvent conditionner les résultats finaux → **importance de la prise en main des outils d'analyse par les biologistes et de la validation expérimentale !**



- Jean-Philippe Perrier → en recherche d'emploi !
- Luc Jouneau
- François Piumi
- Maxime Gasselin
- Hala Al Adhami
- Aurélie Chaulot-Talmon
- Hélène Jammes



Comparaison d'aligneurs pour l'analyse du RRBS



Aligneur « wild-card » (exemple BSMAP)

Séq. de réf.

Y **Y G** A T G A T G T **Y G** Y T G A **Y G** Y A A **Y G** A

T **C G** A

T **C G** A

Alignment des
reads

T **C G** T

T **T G** T

A **C G** T

A **T G** T

A **T G** T

A **T G** A

A **T G** A

Niveau de
méthylation

100%

50%

100%

0%

Aligneur « 3 lettres » (exemple Bismark)

Séq. de réf.

T **T G** A T G A T G T **T G** T T G A **T G** T A A **T G** A

T **t G** A

T **t G** A

T **t G** A

T **t G** A

Alignment des
reads

T **t G** T

T **T G** T

A **T G** A

A **T G** A

Niveau de
méthylation

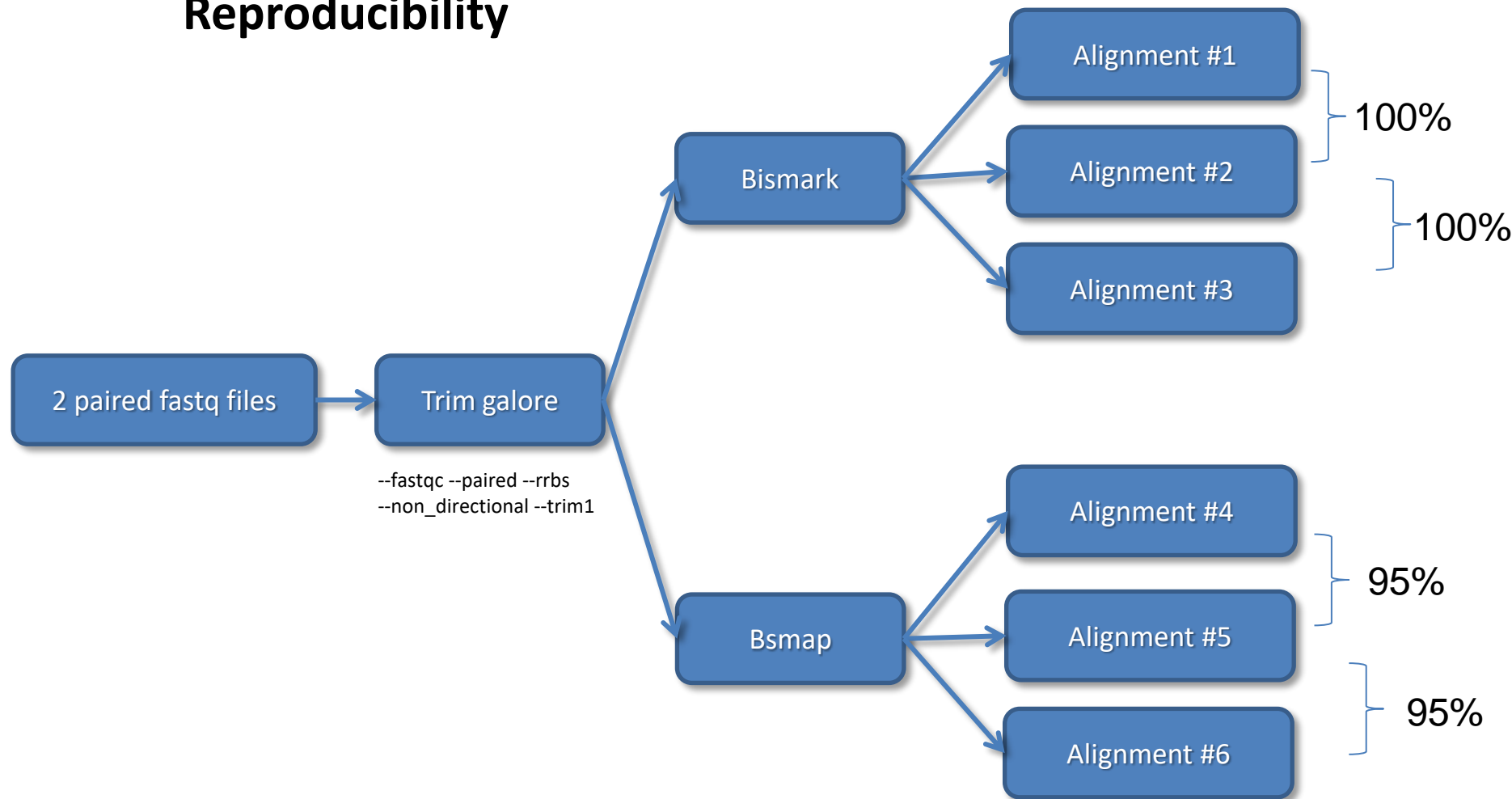
N/A

50%

N/A

0%

Bismark - Bsmmap comparison : Reproducibility



Bsmmap doesn't find the same mapped reads between two identical runs
=> Bismark is reproducible, Bsmmap is not.

